

بررسی ایمنوفنوتایپینگ و فلوسایتومتری سلول‌های مغز استخوان در گربه‌های مبتلا به اختلالات هماتوپویتیک

عاطفه عراقی^۱ ناهید اطمیابی^{۱*} سید مهدی نصیری^۱ داریوش شیرانی^۲ الهام محمدی^۱ محمدرضا استاد علی^۳ احسان جان زمین^۴ اعظم زغل^۳

(۱) بخش کلینیکال پاتولوژی، دانشکده دامپزشکی دانشگاه تهران، تهران-ایران

(۲) گروه بیماری‌های داخلی دام‌های کوچک، دانشکده دامپزشکی دانشگاه تهران، تهران-ایران

(۳) مرکز تحقیقات هماتولوژی-انکولوژی و پیوند مغز استخوان علوم پزشکی دانشگاه تهران، تهران-ایران

(۴) پژوهشگاه رویان، پژوهشکده زیست‌شناسی و فناوری سلول‌های بنیادی جهاددانشگاهی، مرکز تحقیقات علوم سلولی، گروه سلول‌های بنیادی و زیست‌شناسی تکوینی، تهران-ایران

(دریافت مقاله: ۹ مهر ماه ۱۳۹۲، پذیرش نهایی: ۲۷ آذر ماه ۱۳۹۲)

چکیده

زمینه مطالعه: بررسی سیتولوژیک مغز استخوان گربه به دلیل تعداد زیاد سلول‌ها و مراحل مختلف رشد تا حدودی پیچیده است. تکنیک‌های فلوسایتومتری و آنتی‌بادی‌های منوکلونال روش مناسبی به ویژه در تشخیص بدخیمی‌های هماتوپویتیک می‌باشند. هدف: بررسی سلولی مغز استخوان گربه‌های مبتلا به اختلالات هماتوپویتیک با استفاده از آنتی‌بادی‌های منوکلونال با روش فلوسایتومتری. **روش کار:** در این مطالعه سلول‌های مغز استخوان ۴ گربه با اختلالات هماتوپویتیک و دو گربه سالم از نظر کلینیکی با روش فلوسایتومتری مقایسه شدند. آنتی‌بادی‌هایی مورد استفاده در این بررسی شامل CD21-like (Cr-Br)، CD21 lymphocyte subpopulation، CD-172a، گرانولوسیتی و پن لکوسیتی (CD45-like) بودند. **نتایج:** فلوسایتومتری مغز استخوان گربه‌های مبتلا نشان دهنده تغییراتی در خصوصیات ایمنوفنوتایی و پراکنش نوری (Scatter Light) در مقایسه با موارد کنترل وجود داشتند. در گربه مبتلا به اریترولوکمی بیان مارکر CD45، گرانولوسیتی و CD172a کمتر از موارد کنترل (نرمال) بودند. در گربه مبتلا به میلودیس پلازی، در بررسی نمودار نقطه‌ای، افزایش سلول‌های نابالغ میلویدی و کاهش سلول‌های بالغ میلویدی مشاهده شد. **نتیجه گیری نهایی:** این نتایج بیانگر آن است که همراه با بررسی سیتولوژی سلول‌های مغز استخوان، مطالعه خصوصیات پراکنشی سلول‌ها در فلوسایتومتری و همچنین استفاده از آنتی‌بادی‌های CD21-like، گرانولوسیت، پن لکوسیتی CD45، T lymphocyte subpopulation و CD172a می‌توانند در تشخیص اختلالات هماتوپویتیک گربه تکمیل‌کننده باشد.

واژه‌های کلیدی: گربه، فلوسایتومتری، اختلالات هماتوپویتیک، ایمنوفنوتایپینگ

(۱۲، ۱۵). آنتی‌بادی‌های منوکلونال به ویژه در مشخص کردن بدخیمی‌های هماتوپویتیک به علت نابالغ بودن و آنتی‌بیک بودن سلول‌ها مفید هستند (۱۰). در حالی که آنتی‌بادی‌های مورد استفاده در رنگ‌آمیزی سیتوشیمی تنوع زیادی ندارد، در فلوسایتومتری تعداد زیادی از مارکرهای اختصاصی می‌توانند مورد استفاده قرار گیرند. از تکنیک فلوسایتومتری و مارکرهای اختصاصی سلولی در شناسایی زیرگروه‌های جمعیت سلول‌های مغز استخوان در سگ و انسان به طور گسترده استفاده شده است (۳). ولی در گربه‌ها مطالعات کمتری صورت گرفته و اطلاعات مربوط به اختلالات هماتوپویتیک گربه همراه با ارزیابی‌های فلوسایتومتری، شامل گزارش‌های موردی بسیار محدود است.

بنا بر این برای شناسایی اختلالات هماتوپویتیک گربه‌ها، وضعیت اپیدمیولوژی و پاسخ به درمان در این اختلالات، ضروری به نظر می‌رسد که بررسی سلولی مغز استخوان گربه‌های مبتلا با استفاده از آنتی‌بادی‌های منوکلونال اختصاصی رده با روش فلوسایتومتری انجام شود و گامی برای استاندارد کردن روش ایمنوفنوتایپینگ و ارتباط آن با درمان ارائه گردد.

مواد و روش کار

از ۴ گربه بیمار و ۲ گربه سالم که به کلینیک دام‌های کوچک دانشگاه

مقدمه

دامپزشکان در حال استفاده از انواع روش‌های پیشرفته و دقیق در زمینه تشخیص و درمان بیماری‌های حیوانات اقتصادی و خانگی هستند (۹). اگر چه بررسی آسپیراسیون مغز استخوان با میکروسکوپ نوری به عنوان بخش ضروری از بررسی کلینیکی نمونه‌های مغز استخوان رد نمی‌شود ولی استفاده از فلوسایتومتری برای بررسی مغز استخوان چندین مزیت به همراه دارد. فلوسایتومتری در زمان کوتاه و با سرعت بالا به تجزیه و تحلیل دقیق سلول‌ها می‌پردازد (۱۷). فلوسایتومتری سلول‌ها را بهتر تفکیک کرده و همچنین مراحل بلوغ و زیرگروه‌های سلولی را دقیق‌تر تعیین می‌کند. میزان بالای جریان سلولی امکان اینکه تعداد زیادی سلول در مدت بسیار کوتاهی آنالیز و بررسی شوند را نیز فراهم می‌آورد (۳). در نمونه‌های حاوی سلول‌های نئوپلاستیک هماتوپویتیک، طی چندین ساعت تشخیص انجام می‌شود که کیفیت پاسخ‌گویی را افزایش داده و انتخاب شیوه مناسب درمانی را فراهم می‌کند (۱۳، ۱۸). آنتی‌بادی‌های اختصاصی منوکلونال کونژوگه با فلورکروم مورد استفاده در فلوسایتومتری روش مناسبی برای تشخیص افتراقی لکوسیت‌ها با استفاده از مارکرهای سطحی ویژه رده‌های سلولی به شمار می‌روند



گاماگلوبولین اسبی ۱٪ بود شسته و سپس مطابق آنچه در بالا گفته شد سانتریفیوژ شد. آنتی بادی ثانویه کونژوگه فلورسین ایزوتیوسیانات [Goat anti mouse IgG: FITC, Serotec] و [PE, Serotec] یا پیکوارترین به هر لوله اضافه کرده و به مدت ۲۰ دقیقه در ۴°C انکوبه شد. بعد از انکوباسیون سلول ها و بار با PBS ۳cc شسته شده و دوباره در ۲۵۰mL PBS سوسپانسیون گردید. برای مشخص کردن بک گراند فلورسانتی، سلول ها با آنتی بادی ثانویه کونژوگه با PE یا FITC بدون آنتی بادی اولیه انکوبه شدند (۱،۱۴،۱۹). چنانچه نمونه ها بلافاصله بعد از آماده سازی برای فلوسایتومتری آنالیز نمی شدند، با پارا فرمالدهید ۵٪ فیکس شده تا طی حداکثر یک روز آنالیز شوند (۵). سلول های رنگ شده از طریق لوله حاوی نمونه به دستگاه فلوسایتومتری داده شده و ۱۰۰۰۰ سلول توسط آن شمرده و سپس داده های فلوسایتومتری بدست آمده با فرمت و شکل استاندارد در کامپیوتر ذخیره شدند. سلول ها به صورت سیگنال های باز تابیده مستقیم (Forward Scatter) و سیگنال های جانبی (Side Scatter) نمایش داده شدند. در حالیکه مارکرها که فلورسانت PE یا FITC داشتند به صورت لگاریتمی نمایش داده شدند.

لازم به توضیح است که در نمودار نقطه ای جمعیت سلولی، سیگنال های Forward Scatter (FSC) مشخص کننده سائز سلول ها و Side Scatter (SSC) مشخص کننده گرانولوسیتی و پیچیدگی سلول ها است.

لازم به ذکر است که برای تعیین نمودار نقطه ای مغز استخوان، ۲ گربه سالم از نظر کلینیکی مورد آزمایش قرار گرفتند که در این حالت بر اساس شدت و میزان پراکنش نور سلول ها، ۵ ناحیه در نظر گرفته شد.

نتایج

بررسی فلوسایتومتری گربه های با اختلالات هماتوپوئیتیک (نمونه ۱):

تهران ارجاع شده بودند، بررسی یافته های هماتولوژیک (CBC)، گسترش خون و مغز استخوان انجام گرفت. بدین ترتیب که در حدود ۵cc مغز استخوان با سوزن شماره ۱۶ از استخوان ایلیاک آسپیره شده و همچنین ۱cc نمونه خون گرفته شد. سپس گستره خون تهیه با رنگ هماتولوژی گیمسا رنگ آمیزی شد. در ادامه، شمارش افتراقی سلول های خون محیطی (۱۰۰ سلول) و سلول های مغز استخوان (۵۰۰ سلول) به صورت دستی انجام شد.

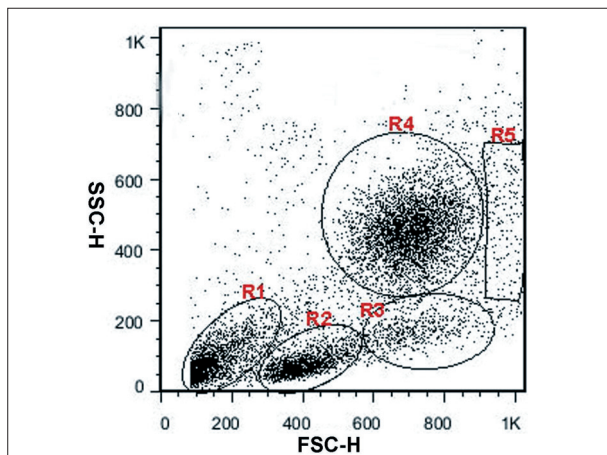
گروه بیمار که ابتلا به اختلالات هماتوپوئیتیک آنها تأیید شد، شامل یک مورد اریترولوکمی (نمونه ۱)، یک مورد گربه مبتلا به سندرم میلودیس پلازی (نمونه ۲)، یک مورد گربه با هایپرپلازی رده میلوئیدی (نمونه ۳) و همچنین یک مورد گربه که از نظر ویروس سرکوب کننده ایمنی (FIV) مثبت بودند (نمونه ۴). نمونه های مغز استخوان برای تعیین دقیق تر ماهیت سلول های غیر طبیعی با آنتی بادی های منوکلونال و با روش فلوسایتومتری مورد بررسی قرار گرفت و نتایج آن با نمونه های نرمال مقایسه و ثبت شد.

به منظور فلوسایتومتری ۱۰۰µL از سلول های خونی مغز استخوان (شامل ۱×۱۰^۶ سلول، که احتمال بهم چسبیدن سلول ها را به حداقل می رساند) برداشته و به لوله های پلی استرن شماره ۱۰ منتقل شد. سپس ۵۰µL آنتی بادی اولیه شامل آنتی بادی های منوکلونال برای شاخص های (Cr-Br) CD21-like، T lymphocyte subpopulation، CD-172a، گرانولوسیتی، پن لکوسیتی (CD45-like) (ساخت شرکت VMRD کشور آمریکا) با ایزوتایپ کنترل اضافه کرده و در دمای اتاق به مدت ۱۵ دقیقه انکوبه شد. بعد از این گلبول های قرمز بالغ (بدون هسته) با اضافه کردن ۳cc کلرید آمونیوم ۸۵٪ به مدت ۲-۵ دقیقه در دمای اتاق لیز شدند، لوله ها را در ۱۰۰ دور به مدت ۳ دقیقه سانتریفیوژ کرده و سلول ها جدا شدند. مایع رویی دور ریخته شده و سلول ها در ۳cc محلول فسفات بافر سالیین PBS (buffered saline phosphate) که حاوی سرم

جدول ۱. یافته های خون محیطی در گربه های مبتلا به اختلالات هماتوپوئیتیک.

پارامترهای خون محیطی																				
مشاروبوسیت (%)	روبووسیت (%)	پروبووسیت (%)	رئوبویلاست (%)	لمفووسیت (%)	مونوسیت (%)	ائوزینوفیل (%)	میلوبلاست (%)	پرومیلوسیت (%)	میلوسیت (%)	متامیلوسیت (%)	باند (%)	نوتروفیل (%)	گلبول سفید (۳۱۰)	پلاکت (۳۱۰)	MCV (fL)	MCHC (g/L)	هموگلوبین (g/dL)	تعداد گلبول های قرمز (۶۱۰)	هماتوکریت (%)	
۴۴/۵	۲	۴/۵	۲/۵	۴/۵	۰	۰	۰	۰	۰	۲	۵	۳۲	۳۴/۵	۱۱۳	۵۲/۶	۶۱	۲/۵	۰/۸	۷	نمونه ۱
۰	۰	۰	۰	۰	۰	۰	۱	۱	۲	۳	۲۲	۷۱	۴۹/۸	۳۸	۳۱/۸	۶۶	۷/۷	۳/۷	۲۴/۳	نمونه ۲
۰	۰	۰	۰	۲۸	۱	۱	۰	۰	۰	۰	۰	۷۰	۷۷	۲۰۰	۳۳/۷	۴۵	۱۳	۹	۲۵/۲	نمونه ۳
۰	۰	۰	۰	۰	۰	۰	۰	۰	۰	۰	۰	۸۷	۴/۶	۱۰۰	۲۹	۶۰	۱۲	۴/۷	۲۲	نمونه ۴
۰	۰	۰	۰	-	-	-	۰	۰	۰	۰	-	۳۵-۸۰	-۱۹/۵ ۵/۵	۱۵۰-۶۰۰	-۱۷/۵ ۱۲/۵	۳۹-۵۵	۸-۱۵	۵-۱۰	۲۴-۴۵	میزان مرجع





تصویر ۱. نمودار نقطه‌ای مغز استخوان گربه سالم: زیر جمعیت‌های سلولی در ۵ ناحیه مشخص و جدا شده‌اند.

FSC/SSC افزایش در سلول‌های نابالغ میلوئیدی و کاهش در سلول‌های میلوئیدی بالغ دیده شد (تصویر ۳-ا). سلول‌های بلاستی ناحیه واضحی را نشان داده و درصد مارکر گرانولوسیتی (۴۵٪) و مارکر پین لکوسیتی (CD-45) حدود ۸۰٪ برآورده شد (جدول ۳). الگوی جمعیتی مارکر CD45 در نمودار --SSC/CD45 متفاوت از الگوی آن در حالت نرمال بود (تصویر ۳-ب). در این گربه سایر مارکرهای اختصاصی گربه برای فلوسایتومتری آزمایش نشد.

نمونه ۳: در این گربه در بررسی گستره تهیه شده از مغز استخوان هایپرپلازی رده‌ی میلوئیدی مشاهده شد. آنالیز مغز استخوان مبین افزایش سلولاریتی حدود (۳^۱ × ۷۷/۳) mL بود. نسبت میلوئید به اریترئوئید حدود ۱۱/۴ بود (جدول ۲). بررسی فلوسایتومتری سلول‌ها در نمودار نقطه‌ای SSC/FSC نشان از افزایش سلول‌ها در گیت R3 و R4 بود. که این سلول‌ها CD172a مثبت بودند و مارکر گرانولوسیتی توسط ۷۵٪ سلول‌ها بیان شد که بیشتر از میزان میانگین آن در گربه‌های نرمال بود (جدول ۳). مارکرهای لنفوسیتی و پین لکوسیتی (CD45-like) برای بررسی درصد بیان سلول‌ها مورد بررسی قرار نگرفت.

نمونه ۴: در این گربه یافته‌های هماتولوژی در خون محیطی شامل لکوسیتوز، کم‌خونی ماکروسیتیک هایپوکرومیک به همراه ترمبوسیتوپنی بود (جدول ۱). سلول‌های مغز استخوان در هر دوره میلوئیدی و اریترئوئیدی دیس پلاستیک بودند. آزمایش سرولوژی برای تشخیص (Feline Immunodeficiency Virus) FIV با آزمایش الایزا (IDEXX) در این گربه مثبت بود و تأیید شد. در بررسی فلوسایتومتری نمودار نقطه‌ای SSC/FSC تفاوت قابل توجه‌ای با سلول‌های مغز استخوان در حالت نرمال نشان نداد (تصویر ۴-ا)، اما نمودار SSC/CD45 الگوی متفاوتی با حالت نرمال داشت، بدین نحو که جمعیت سلول‌های CD45 مثبت کاهش پیدا کرد (تصویر ۴-ب). همچنین درصد مارکرهای CD 21-like و T lymphocyte subpopulation کمتر از موارد نرمال بود

جدول ۲. پارامترهای تشخیص تفریقی سلول‌های خونی مغز استخوان.

نسبت میلوئید به اریترئوئید	رده میلوئیدی	رده اریترئوئیدی	نمونه
۰/۱۹	۱۵/۸	۸۲/۸	۱
۱۳/۸	۶۰/۸	۴/۴	۲
۱۱/۳۶	۸۶/۴	۷/۶	۳
۷/۳	۸۶/۸	۱۱/۸	۴
۲/۲-۱/۲	-	-	میزان مرجع

جدول ۳. بررسی آنتی بادی‌های منوکلونال در نمونه نرمال و گربه‌های مبتلا به اختلالات هماتوپوئیتیک.

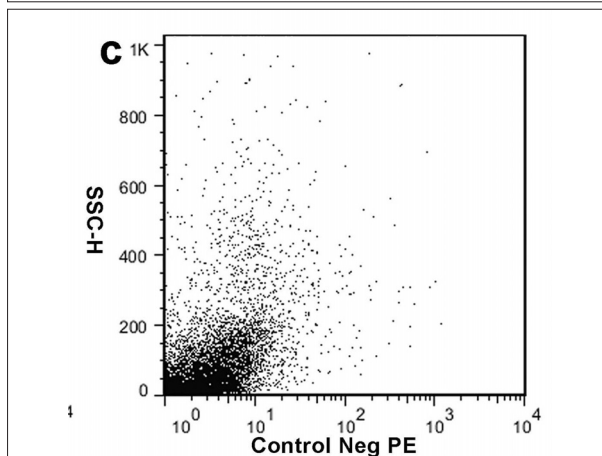
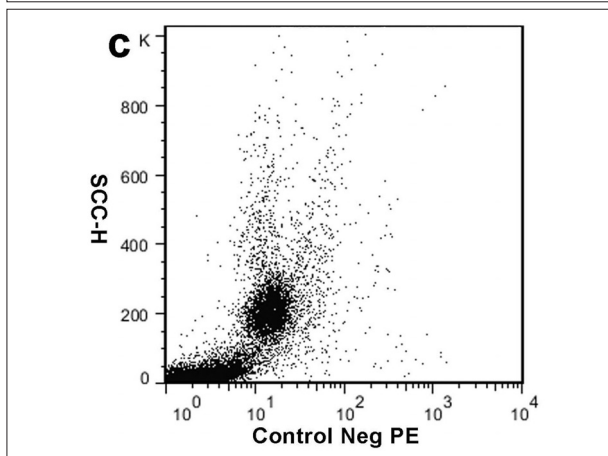
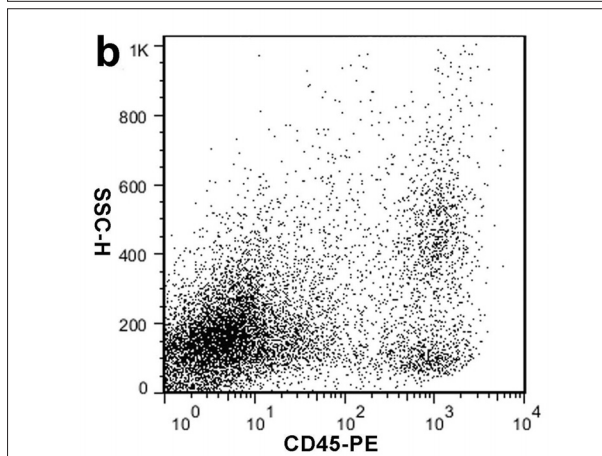
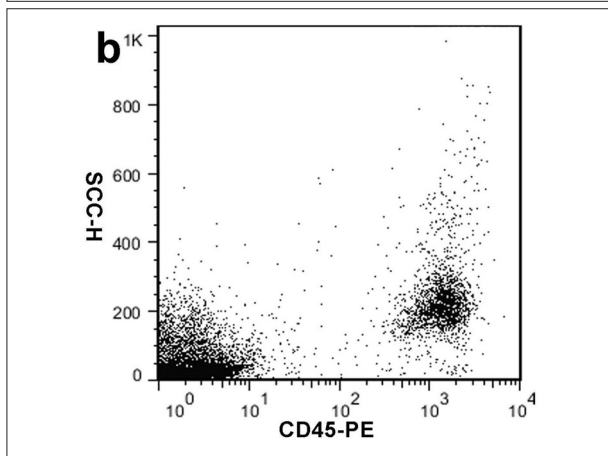
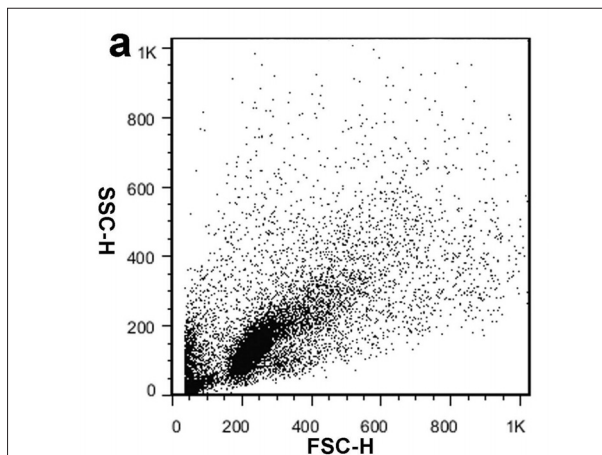
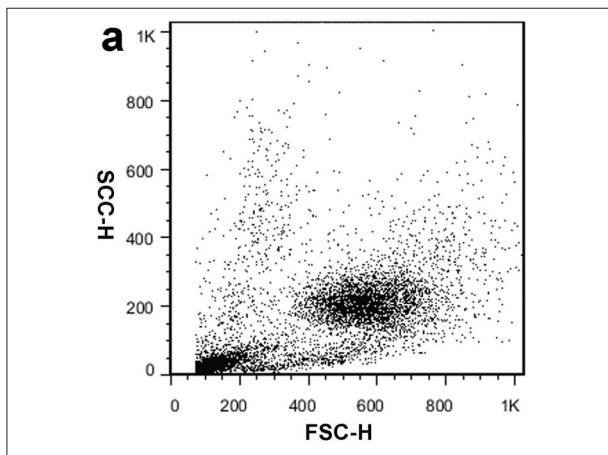
CD T lymphocyte	CD21 like	گرانولوسیت CD	CD172a	CD45	نمونه
تست نشد	تست نشد	٪۴	٪۸	٪۲۰	۱
تست نشد	تست نشد	٪۴۵	٪۴۸	٪۸۰	۲
تست نشد	تست نشد	٪۷۵	٪۷۵	تست نشد	۳
٪۳	٪۶	٪۳۵	٪۴۰	٪۳۰	۴
٪۸	٪۱۰	٪۳۷	٪۴۲	٪۵۴	میزان مرجع

این گربه مبتلا به اریترولوکمی، آنمی شدید و ترمبوسیتوپنی به همراه پره کور سوره‌های اریترئوئیدی شامل روبری بلاست، روبری سیت و متاروبروسیت در لام تهیه شده از خون محیطی دیده شد (جدول ۱). در بررسی سیتولوژیکی آسپیراسیون مغز استخوان رده‌ی اریترئوئیدی ۸۲٪ سلول‌های هسته‌دار را تشکیل دادند (جدول ۲). در فلوسایتومتری، نمودار نقطه‌ای FSC/SSC الگوی متفاوتی از توزیع سلول‌ها در مقایسه با مغز استخوان نرمال (تصویر ۱) نشان داد که بیشترین سلول‌ها در گیت R2 و R3 بودند (۲-ا).

بیان متفاوتی از مارکر پین لکوسیت (CD 45-like)، گرانولوسیتی و (CD172a) مشاهده شد. درصد سلول‌هایی که از نظر CD45 و CD172a و مارکر گرانولوسیتی مثبت بودند بسیار پایین‌تر از درصد سلول‌ها در مغز استخوان نرمال بود (جدول ۳)، که با افزایش سلول‌های نئوپلاستیک اریترئوئیدی و کاهش جمعیت لکوسیتی در این گربه همخوانی دارد. در نمودار نقطه‌ای CD45- به SSC جمعیتی با بیان کم CD45 و همچنین SSC کم مشاهده شد (تصویر ۲-ب).

نمونه ۲: گربه با سندرم میلودیس پلاستیک که از نظر (FeLV Feline Leukemia Virus) مثبت بود. در این گربه آنمی جبران ناپذیر ماکروسیتیک نورموکرومیک به همراه ترمبوسیتوپنی و میلوبلاست و پرومیلویت و پلاکت‌های غول پیکر در خون محیطی دیده شد (جدول ۱). همچنین تغییرات توکسیک شامل هایپوسگمانتاسیون و هایپر سگمانتاسیون در نوتروفیل‌های خون محیطی دیده شد. سلول‌های بلاستی ۱۵٪ کل سلول‌های هسته‌دار را در مغز استخوان تشکیل دادند. در آنالیز فلوسایتومتری، در بررسی نمودار نقطه‌ای





تصویر ۳. (a) نمودار FSC/SSC در گربه مبتلا به سندرم میلودیس پلازی، سلول‌های بلاستی، منطقه‌ای مشخص را در نمودار نقطه‌ای نشان می‌دهند. (b) الگوی متفاوت در نمودار SSC/CD45 نسبت به حالت نرمال مشاهده شد (کنترل منفی = c).

تصویر ۲. نمودار FSC/SSC و SSC/CD45 در گربه مبتلا به اریترولوکمی. (a) نمودار نقطه‌ای، توزیع متفاوتی از سلول‌ها را در مقایسه با مغز استخوان گروه کنترل (نرمال) نشان می‌دهد. (b) نمودار نقطه‌ای SSC/CD45، جمعیت سلولی با SSC کم و همچنین بیان کم CD45 را نشان می‌دهد که با خصوصیات سلول‌های اریتروبیدی هسته‌دار هم‌خوانی دارد (کنترل منفی = c).

(جدول ۳).

بر اساس پارامترهای مورفولوژیکی بخصوص در موارد نئوپلاستیک کاری دشوار است (۳). ایمونوفنوتایپینگ و بررسی فلوسایتومتری مغز استخوان ابزار مناسبی برای بررسی لوسمی حاد، سندروم میلودیسیلازی و لمفوم غیر هوچکینی در انسان می‌باشد (۴،۸). در گربه مبتلا به اریترولوکمی گربه، درصد سلول‌هایی که CD45 مثبت بودند نسبت به حالت نرمال کاهش چشم‌گیری داشت. در انسان در بدخیمی‌های لنفوسیتی درصد

بحث

در بررسی فلوسایتومتری، تشخیص زیرگروه‌های لکوسیتی تنها



کلینیک دام‌های کوچک دانشکده دامپزشکی دانشگاه تهران و همچنین آقای فاضل سامانی و سرکار خانم پردیس خسروانی کارشناسان بخش فلوسایتومتری پژوهشگاه رویان صمیمانه قدردانی می‌شود. این مطالعه توسط Iran National Science Foundation (INSF) مورد حمایت مالی (گرنز شماره ۸۹۰۲۳۷۴) قرار گرفته است.

References

1. Ameri, M., Wilkerson, M.J., Stockham, S.L., Almes, K.M., Patton, K.M., Jackson, T. (2010) Acute megakaryoblastic leukemia in a German Shepherd dog. *Vet Clin Pathol.* 39: 39-45.
2. Comazzi, S., Gelain, M.E. (2011) Use of flow cytometric immunophenotyping to refine the cytological diagnosis of canine lymphoma. *Vet J.* 188: 149-155.
3. Comazzi, S., Gelain, M.E., Spagnolo, V., Riondato, F., Guglielmino, R., Sartorelli, P. (2006) Flow cytometric patterns in blood from dogs with non-neoplastic and neoplastic hematologic diseases using double labeling for CD18 and CD45. *Vet Clin Pathol.* 35: 47-54.
4. Del Poeta, G., Stasi, R., Venditti, A., Suppo, G., Aronica, G., Bruno, A., Papa, G. (1994) Prognostic value of cell marker analysis in de novo acute myeloid leukemia. *Leukemia.* 8: 388-394.
5. Gelain, M.E., Mazzilli, M., Riondato, F., Marconato, L., Comazzi, S. (2008) Aberrant phenotypes and quantitative antigen expression in different subtypes of canine lymphoma by flow cytometry. *Vet Immunol Immunopathol.* 121: 179-188.
6. Hendrickx, A., Bossuyt, X. (2001) Quantification of the leukocyte common antigen (CD45) in mature B-cell malignancies. *Cytometry.* 46: 336-339.
7. Jain, N. (1993) Classification of myeloproliferative disorders in cats using criteria proposed by the animal leukaemia study group: A retrospective study of 181 cases (1969-1992). *Comp Haematol Int.* 3: 125-134.
8. Jensen, I.M. (1995) Myelopoiesis in myelodysplasia evaluated by multiparameter flow cytometry. *Leuk Lymphoma.* 20: 17-25.

بیان CD45 بسیار پایین تر از مقدار بیان آن توسط لنفوسیت‌ها در حالت سلامت و نرمال است. بنابراین بررسی بیان مارکر CD45 در تشخیص بدخیمی‌های لنفوسیتی کمک کننده است (۶). در همین گربه مبتلا به اریترولوکمی جمعیتی با SSC کم و بیان CD45 کم (low SSC/low CD45) همراه با درصد بالایی از سلول‌های هسته‌دار اریتروئیدی مشاهده شد. چنانچه در مغز استخوان انسان هم شرح داده شده است (۱۲). بنابراین به نظر می‌رسد که این مارکر در تشخیص بدخیمی‌های رده اریتروئیدی در گربه مفید باشد (۷،۱۱). همچنین در نمودار نقطه‌ای جمعیت بلاستی که کمی FSC/SSC دارد به خوبی قابل شناسایی است. در گربه‌ای که از نظر سرمی FIV مثبت بود کاهش جمعیت لنفوسیت T با کاهش مارکر اختصاصی این سلول و همچنین کاهش جمعیت لنفوسیتی در نمودار نقطه‌ای CD45 تأیید کننده روند بیماریزایی این ویروس در گربه مبتلا است. از طرفی استفاده همزمان مارکر CD45 به همراه سایر مارکرها می‌تواند برای جدا کردن رده‌های مختلف سلولی مفید باشد. بررسی کمی بیان آنتی‌ژن‌های سطحی در بیماریهای تک‌گیروانفرادی تا حدودی دشوار است و ممکن است همبستگی مستقیم بین بررسی سیتولوژیکی سلول‌ها و فلوسایتومتری بخاطر تعداد کم موارد مبتلا به اختلالات هماتوپوئیتیک بدست نیاید. اما بررسی نمودار نقطه‌ای (FSC/SSC) و سلولاریتی اطلاعات عینی دقیق و قابل تکرار را از طریق امکان بررسی تعداد زیادی سلول فراهم می‌آورد (۲،۹). اگرچه فلوسایتومتری به تنهایی جایگزین بررسی میکروسکوپی سلول‌های گرفته شده از مغز استخوان نمی‌شود. به طور کلی وقتی که در خون محیطی و یا مغز استخوان، نشانه‌هایی از بلاست‌ها یافت شود، معین کردن دسته‌ی سلولی دشوار خواهد بود و فلوسایتومتری می‌تواند در این گونه موارد بسیار مفید باشد. با وجود این، گزارشات اندکی وجود دارند که همبستگی و ویژگی‌های مورفولوژیک را با ایمونوفنوتیپ بخصوص در گربه بررسی کرده باشند. در مطالعه حاضر مشخص شد که بخصوص مارکر CD45 که مارکر پن‌لکوسیتی است و لکوسیت‌ها این مارکر را بسته به رده سلولی در مقادیر مختلف بیان می‌کنند، برای تشخیص گرانولوسیت‌های بالغ و نابالغ و لنفوسیت‌ها می‌تواند بسیار مفید باشد. چون این مارکر هم بر روی سلول‌های بالغ و هم نابالغ میلوئیدی بیان می‌شود. در صورتی که مارکر گرانولوسیتی و CD172a فقط توسط سلول‌های بالغ میلوئیدی بیان می‌شوند. پانلی شامل مارکرها CD45، گرانولوسیتی، CD172a، T lymphocyte subpopulation و CD21-like (Cr-Br) می‌تواند برای ایمونوفنوتایپینگ مغز استخوان گربه کاربردی باشد. اگرچه بررسی تعداد بیشتر موارد بیمار ضروری است تا بتوان شاخص‌های سلولی بیشتری را در موارد بیماریهای هماتوپوئیتیک گربه‌ها مورد مطالعه قرار داد.

تشکر و قدردانی

بدینوسیله از همکاری آقای عیسی نژاد کارشناس بخش جراحی



9. Meister, R.K., Taglinger, K., Haverson, K., Strohminger, N., Mathes, L.E. (2007) Progress in the discovery and definition of monoclonal antibodies for use in feline research. *Vet Immunol Immunopathol.* 119: 38-46.
10. Reggeti, F., Bienzle, D. (2011) Flow Cytometry in Veterinary Oncology. *Vet Pathol.* 48: 223-235.
11. Shirani, D., Nassiri, S.M., Aldavood, S.J., Seddigh, H.S., Fathi, E. (2011) Acute erythroid leukemia with multilineage dysplasia in a cat. *Can Vet J.* 52: 389-393.
12. Stelzer, G.T., Shults, K.E., Loken, M.R. (1993) CD45 gating for routine flow cytometric analysis of human bone marrow specimens. *Ann N Y Acad Sci.* 677: 265-280.
13. Tasca, S., Carli, E., Caldin, M., Menegazzo, L., Furlanello, T., Gallego, L.S. (2008) Hematologic abnormalities and flow cytometric immunophenotyping results in dogs with hematopoietic neoplasia: 210 cases (2002-2006). *Vet Clin Pathol.* 38: 2-12.
14. Villiers, E., Baines, S., Law, A.M., Mallows, V. (2006) Identification of acute myeloid leukemia in dogs using flow cytometry with myeloperoxidase, MAC387, and a canine neutrophil-specific antibody. *Vet Clin Pathol.* 35: 55-71.
15. Weiss, D.J. (2001a) Determination of differential cell counts in feline bone marrow by use of flow cytometry. *Am J Vet Res.* 62: 474-478
16. Weiss, D.J. (2001b) Evaluation of monoclonal antibodies for identification of subpopulations of myeloid cells in bone marrow obtained from dogs. *Am J Vet Res.* 62: 1229-1233.
17. Weiss, D.J. (2002) Application of flow cytometric techniques to veterinary clinical hematology. *Vet Clin Pathol.* 31: 72-82.
18. Wilkerson, M.J. (2012) Principles and applications of flow cytometry and cell sorting in companion animal medicine. *Vet Clin North Am Small Anim Pract.* 42: 53-71.
19. Wilkerson, M.J., Dolce, K., Koopman, T., Shuman, W., Chun, R., Garrett, L., Avery, A. (2005) Lineage differentiation of canine lymphoma/leukemias and aberrant expression of CD molecules. *Vet Immunol. Immunopathol.* 106: 179-196.



Flow cytometric immunophenotyping of bone marrow in cats diagnosed with hematopoietic disorders

Araghi, A.¹, Atyabi, N.^{1*}, Nassiri, S.M.¹, Shirani, D.², Mohammadi, E.¹,
Ostadali, M.R.³, Janzamin, E.⁴, Zaghal, A.³

¹Department of Clinical Pathology, Faculty of Veterinary Medicine, University of Tehran, Tehran-Iran

²Department of Clinical Sciences, Faculty of Veterinary Medicine, University of Tehran, Tehran-Iran

³Laboratory Department, Hematology, Oncology, and Stem Cell Transplantation Research Center, Tehran University of Medical Sciences, Tehran-Iran

⁴Department of Stem Cells and Developmental Biology at Cell Science Research Center, Royan Institute for Stem Cell Biology and Technology, ACECR, Tehran-Iran

(Received 1 October 2013 , Accepted 18 December 2013)

Abstract:

BACKGROUND: Cytological examination of bone marrow in cats, due to the large number of cells and various growth phases is somewhat complicated. The use of flow cytometric techniques and monoclonal antibodies are appropriate methods in the diagnosis of hematopoietic malignancies. **OBJECTIVES:** The purpose of the present study is to determine cell-surface antigens for various developmental stages of feline bone marrow cells in hematopoietic disorders using flow cytometric. **METHODS:** In this study, bone marrow cells from 4 cats with hematopoietic disorders and 2 clinically healthy cats, were labeled with 5 types of anti-feline MAbs included: CD21-like (Cr-Br), T lymphocyte subpopulation, CD-172a, Granulocyte, Pan-Leukocyte (CD45-like) and then analyzed using flow cytometric. **RESULTS:** The results revealed changes in immunophenotyping and light scatter properties compared with normal cases. The percentage of CD45, Granulocyte and CD172a markers in the bone marrow of a cat with erythroleukemia were lower compared with normal bone marrow. In a cat with myelodysplastic syndrome, scatter plot indicated an increase in the immature myeloid cells and a decrease in mature myeloid cells. **CONCLUSIONS:** It was concluded that cytological examination of bone marrow with studying dispersion studies on cells using flow cytometric and usage of a panel of antibodies such as CD21-like(Cr-Br), T lymphocyte subpopulation, CD-172a, Granulocyte, Pan-Leukocyte (CD45-like) could support the diagnosis of feline hematopoietic abnormalities.

Key words: cat, flow cytometric, hematopoietic disorders, immunophenotyping

Figure Legends and Table Captions

Figure 1. Representative of scatter plot of healthy-cat bone marrow. Cellular subpopulations shown in five distinct regions.

Figure 2. Representative of forward and side scatter plot and side scatter-CD45 diagram in cat with erythroleukemia. a) Scatter plot shows different cellular distribution as compared to normal cats. b) Side scatter-CD45 scatter plot presents CD45 dull positive cells with low side scatter intensity that shows nucleated erythroid cells (C; negative control).

Figure 3. a) FSC/SCC plot in cat with myelodysplasia. The blast cells are shown in distinct region of scatter plot. b) Different SSC/CD45 pattern was shown as compared to control (C; negative control).

Figure 4. a) FSC/SCC plot of FIV positive cat. b) SSC/CD45 different plot with reduction in lymphocyte population (c; negative control).

Table 1. Complete blood count data from cats with hematopoietic disorders.

Table 2. Differential count of cells in bone marrow from the cats with hematopoietic disorders.

Table 3. Percentage of positive cells using a panel of antibodies by flow cytometric for 4 cases of hematopoietic disorders and normal cats.



*Corresponding author's email: natyabi@ut.ac.ir, Tel: 021-61117128, Fax: 021-66438327

J. Vet. Res. 69, 1:33-39, 2014